

¿Es la nebulosa de Orión luz superradiada de la nebulosa de De Mairan? Conjetura holográfica M43-M42-Sh2-279 y subconjetura del tercer jet.

Héctor Gengis Arellano Montiel, México, Marzo 2021 - Abril 2023.

Índice.

I. Introducción.

I. 1. Puntos fríos.

I. 2. Formaciones similares de polvo y gas.

I. 3. M42 como luz expandida, girada y volteada de M43, posible indicio de supersimetría.

I. 4. Espacio-tiempo entre Sh2-279 y M42 como medio inhomogéneo para propagación de onda.

I. 5. Sh2-279 posible zona de recolimación, comparación con jet de agujero negro supermasivo y sus desintegraciones.

I. 6. Conjetura microcuasar-microblazar.

I. 7. Hacia una estimación de masa.

I. 8. ¿Es la barra de Orión el contra jet de Sh2-279?

I. 9. Hipotética perspectiva de jet y contra jet.

I. II. Anexos Matemáticos.

I. II. 1. Hipotética transformación conforme.

I. II. 2. Sh2-279 como radiación en tesseracto y la flecha del tiempo. Hacia una descripción geométrica.

I. II. 3. Conos de luz Minkowski 4D y $AdS_{n \geq 5}$ con λ negativo.

I. II. 4. Hipotéticos casos de Reissner-Nordström y Kerr-Newman con censura cósmica y evidencia empírica de horizontes de sucesos no fusionados.

II. Conjetura. Sh2-279 como jet holográfico por efecto Cherenkov inverso de disco de acreción entre M43 y M42.

II. 1. Todo jet de singularidad es una holografía de su evento.

II. 2. Sh2-279 como jet holográfico de suceso M43-M42.

II. 3. Modelo $AdS_{n \geq 5}$ con constante cosmológica negativa por debajo de la longitud de Planck, singularidad rotatoria entre M43, Sh2-279 y M42.

II. 4. Dualidad Maldacena. Conservación de la información por jet de singularidad superradiante o imagen 2D de acontecimiento 4D.

II. 5. Singularidad giratoria, posible superradiación y universo $AdS_{n \geq 5}$ con anisotropía.

II. 6. Hipotética velocidad superlumínica general por agujero de gusano, sin violación local a la velocidad de la luz, percibida como luz adelantada a su fuente.

II. 7. Modelo unificado de núcleos galácticos activos contra hipotético micro blazar-cuasar.

II. 8. Hipotético caso de Kerr-Newman con censura cósmica y arquitectura Hs-S-Hs o de horizontes de sucesos no fusionados por preponderancia de masa.

II. 9. Hipotética filogenia de singularidades deducida por jets.

III. Posibles comprobaciones y Teoría M.

III. 1. ¿Estrella tipo O capturada por Kerr?

III. 2. Posible Proceso Penrose de luz de M43 subdividido en holograma dextrógiro M42 y su efecto Cherenkov o jet levógiro Sh2-279.

III. 3. Sh2-279 como Jet levógiro e indicios de gravedad arcoíris en análisis de longitudes de onda.

III. 4. Especulación físico-química por astronomía de infrarrojo lejano. Posible nucleosíntesis por espalación de rayos cósmicos revelada por Kerr.

III. 5. Ejemplo de evidencia empírica.

III. 6. Conjetura de Kerr-Newman masa estelar a intermedia y su posible decaimiento en Reissner-Nordström por pérdida de momento angular.

III. 7. Hipotético decaimiento Reissner-Nordström a Schwarzschild, jets vs burbujas de Fermi.

- III. 8. Sh2-279 y Sh2-264 como el mismo microcuasar.
- III. 9. Hipotéticas trayectorias de fotones en proceso Penrose y su ruptura de simetría.
- III. 10. Hipotético espacio-tiempo entorno a Kerr como metamaterial doble negativo.
- III.II. Hacia una teoría M.
- III. II. 1. Correspondencia AdS-CFT en Sh2-279.
- III. II. 2. Isotropía de la radiación de fondo de microondas e hipotético eje del mal como evidencia de flecha del tiempo supersimétrica y universo $AdS_{n \geq 5}$.
- IV. Subconjetura del tercer jet.
- IV. 1. Temperaturas y longitudes de onda en subconjetura del tercer jet.
- IV. 2. Subconjetura de estelares a intermedio.
- IV. 3. M43, M42 y Sh2-279, estrellas y galaxias censuradas.
- IV. 4. Tercer jet como microblazar Sh2-276, estrellas y galaxias censuradas.

Introducción.

El presente ejercicio especulativo está formado por un conjunto de ideas en distintos grados especulativas, desde las más aceptadas por la comunidad científica a las menos, sólo para intentar dar una explicación coherente a una inquietante percepción personal.

Este cuento no es para quien con ignorancia o soberbia corrige y hasta reprime, sea en cambio para quien imagina y sueña. Para todo espíritu manso en la paz pero indoblegable en la adversidad.

I. 1. Puntos fríos.

1. Puntos fríos y vacío ~ 3k (-270C).

2. Materia sub y estelar, 50K (-223C) a 200000k (199726C)

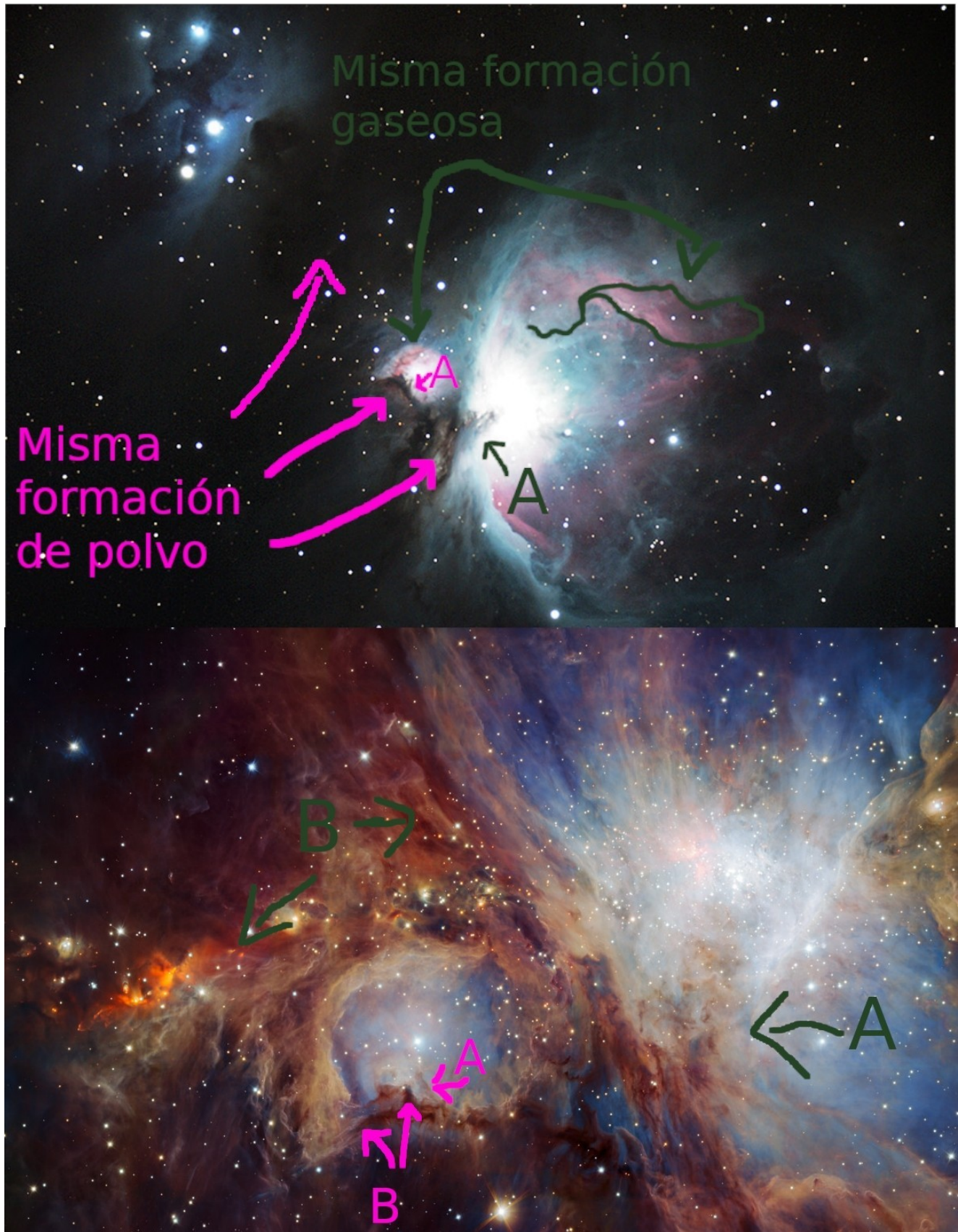
Infrarrojo lejano (imagen con brillo invertido manteniendo el color)

Hubble brillo invertido
mismo color 0 ← 2

Visible

Telescopio espacial Hubble

I. 2. Formaciones similares de polvo y gas.



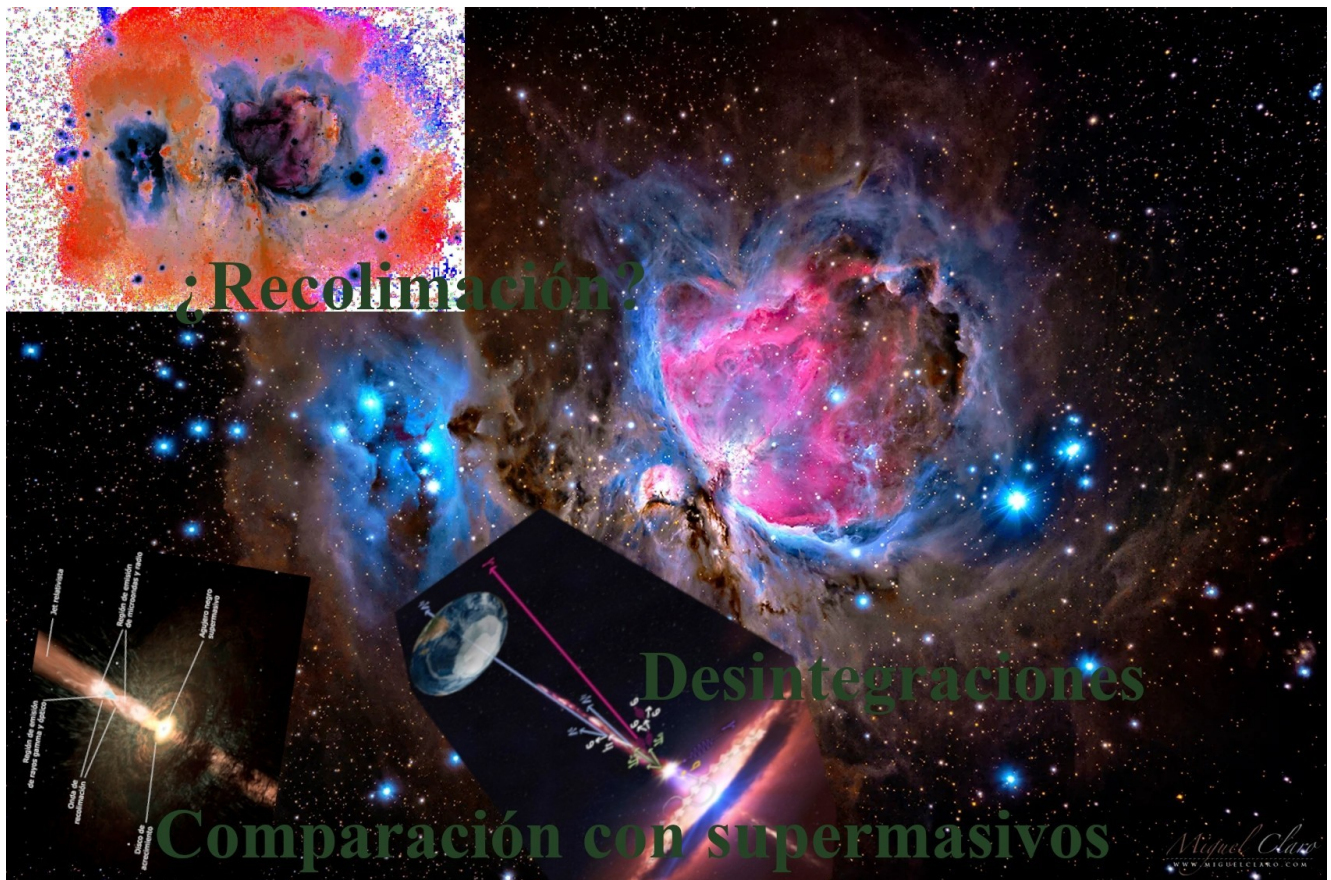
I. 3. M42 como luz expandida, girada y volteada de M43, posible indicio de supersimetría.



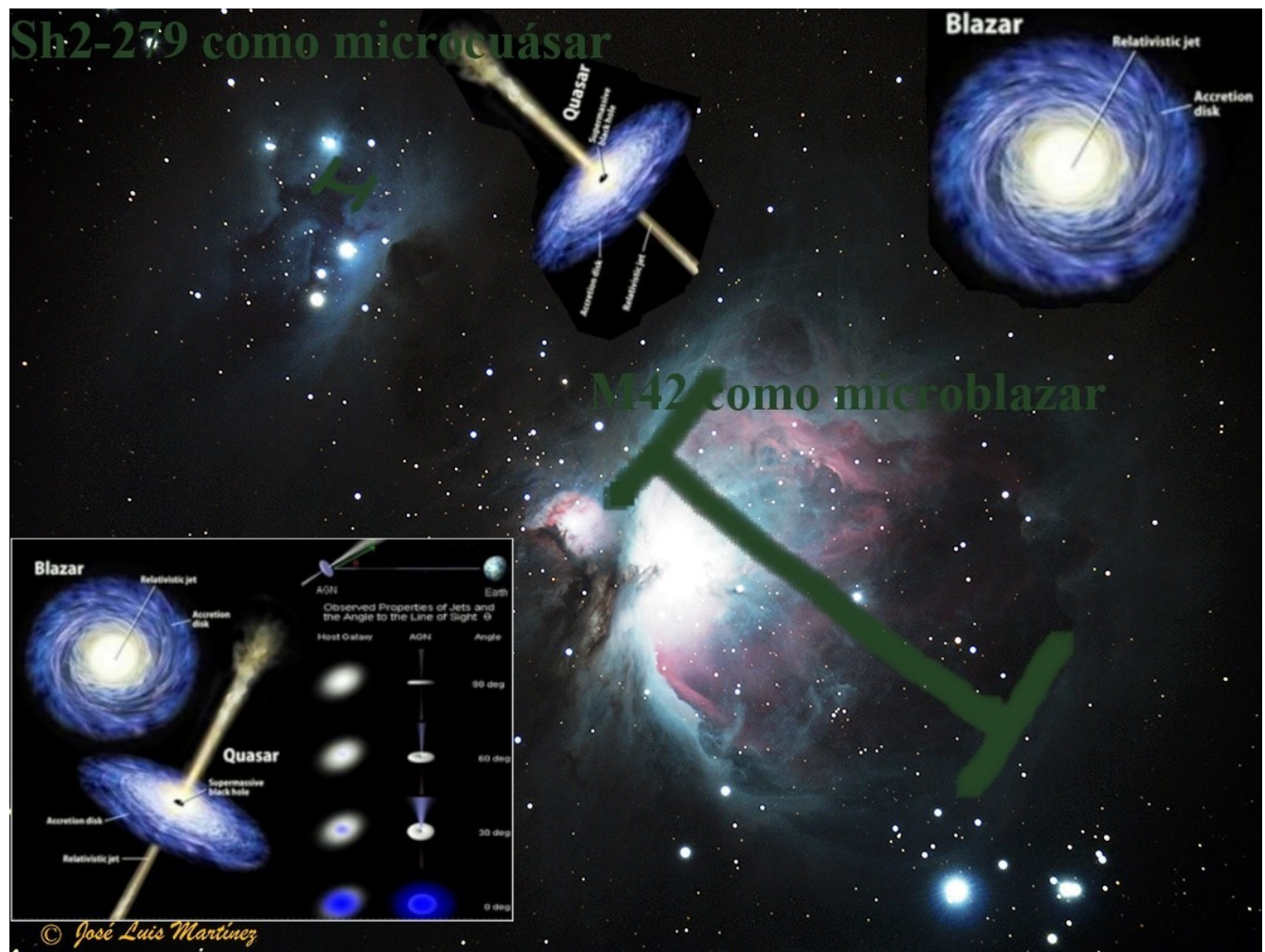
I. 4. Espacio-tiempo entre Sh2-279 y M42 como medio inhomogéneo para propagación de onda.



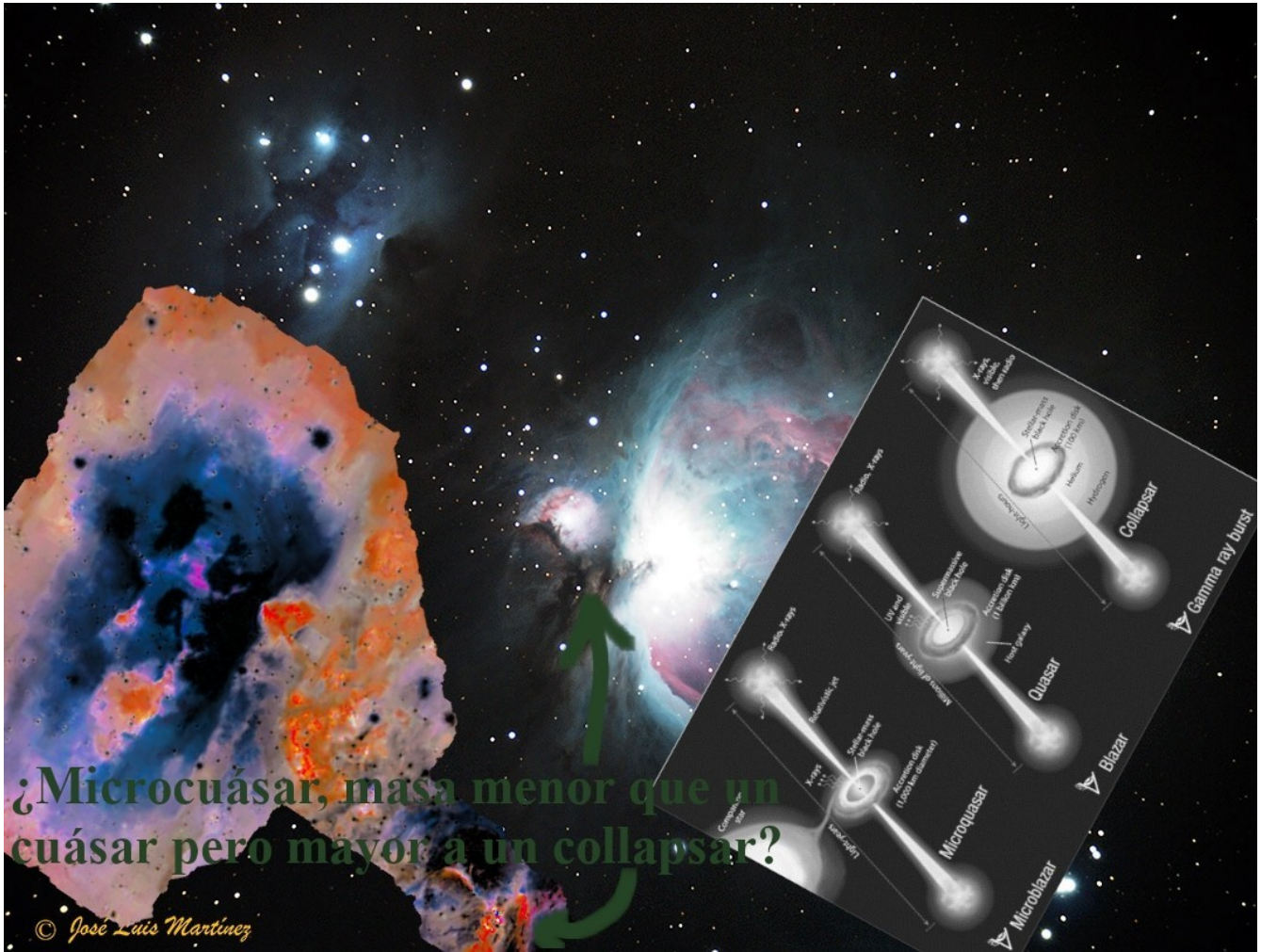
I. 5. Sh2-279 posible zona de recolimación, comparación con jet de agujero negro supermasivo y sus desintegraciones.



I. 6. Conjetura microcuasar-microblazar.



I. 7. Hacia una estimación de masa.



Parte de la luz y polvo de M43 como material de disco de acreción en lugar de estrella compañera.

I. 8. ¿Es la barra de Orión el contra jet de Sh2-279?

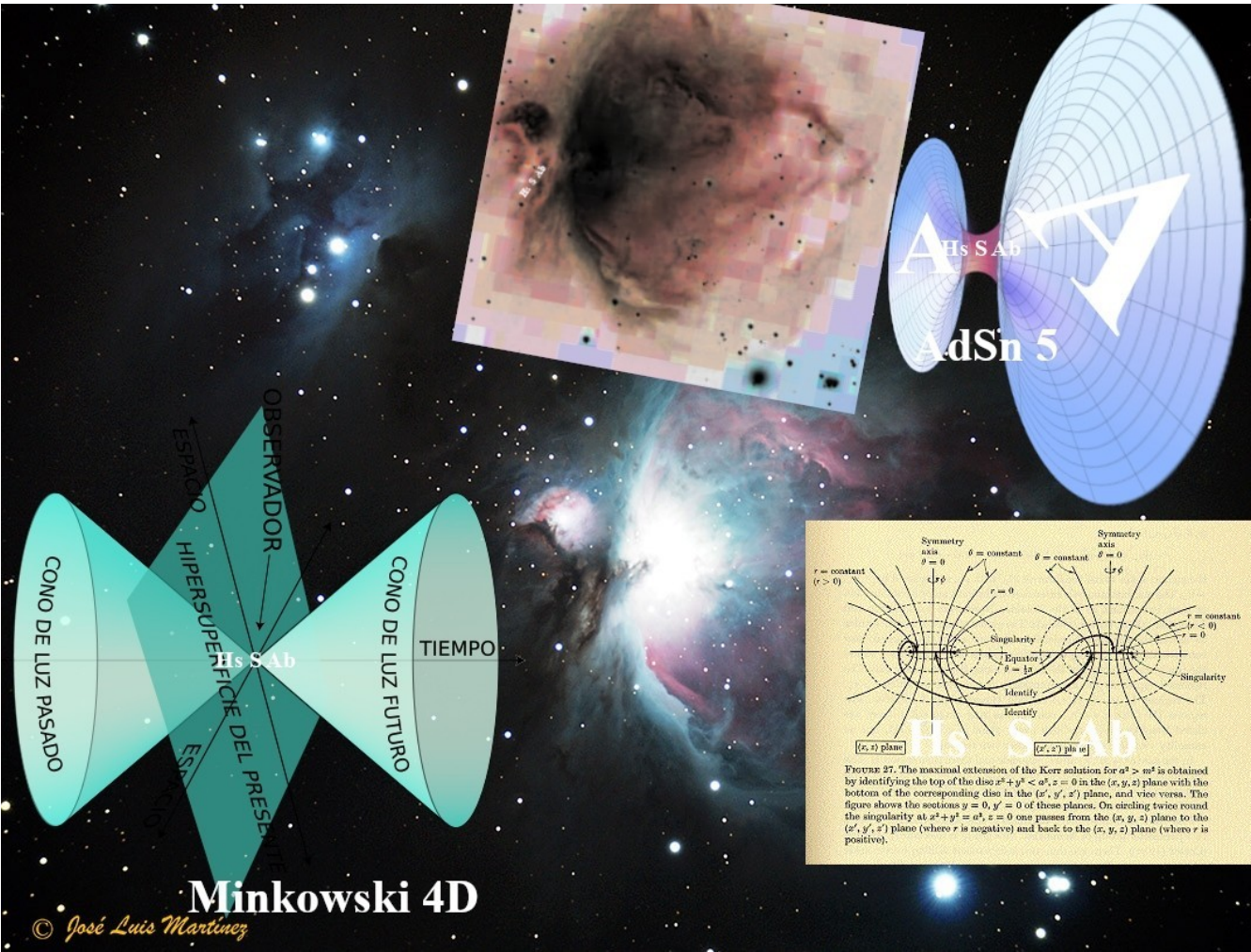


I. 9. Hipotética perspectiva de jet y contra jet.

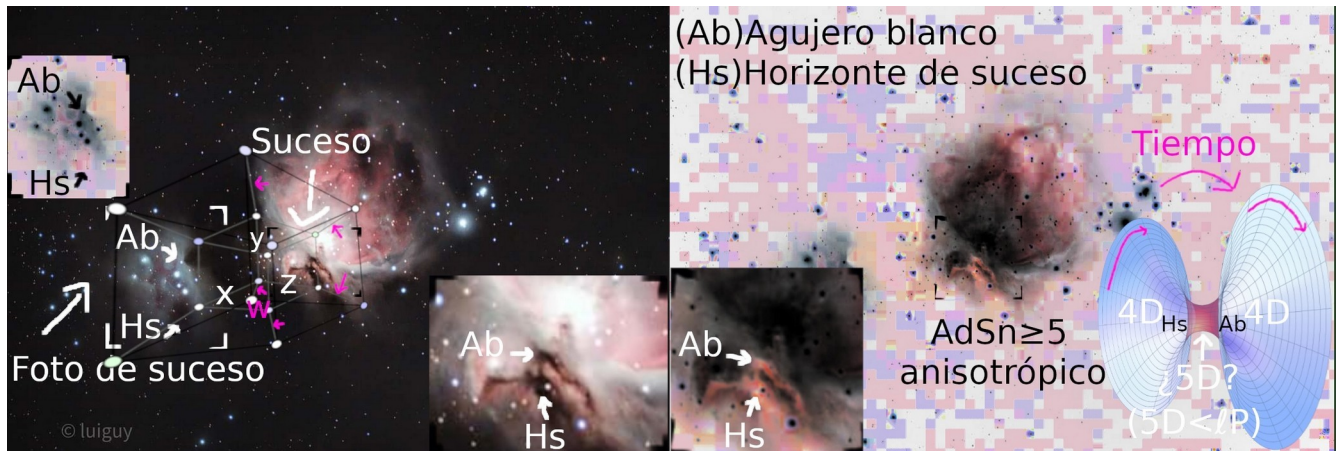


I. II. Anexos Matemáticos.

I. II. 1. Hipotética transformación conforme.



I. II. 2. Sh2-279 como radiación en tesseracto y la flecha del tiempo. Hacia una descripción geométrica.



Todo lo que ocurre en cuatro dimensiones (objetos 3D en movimiento, historias o sucesos) puede ser descrito con información 2D de un hiperespacio 5D. En la imagen, Sh2-279 como información radiada en hiperpared de cuarto 5D (techo), mientras la singularidad y sus geodésicas de entrada y salida pueden ser vistas como el piso.

I. II. 3. Conos de luz Minkowski 4D y AdSn≥5 con lambda negativo.

61 - Curso de Relatividad General [Anti de Sitter]

OBJETIVO: construir métrica
espaciotiempo $R = \text{constante} < 0$
solución EINSTEIN $\Lambda < 0$
VACÍO

TIEMPO

CONO DE LUZ FUTURO

1-esfera
 $R^2 d\theta^2$
 $x^2 + y^2 = R^2$

OBSERVADOR

ESPACIO

HIPERSUPERFICIE DEL PRESENTE

2-esfera
 $R^2 (d\phi^2 + \sin^2 \phi d\rho^2)$
 $x^2 + y^2 + z^2 = R^2$

CONO DE LUZ PASADO

3-esfera
 $R^2 [d\rho^2 + \cos^2 \rho (d\alpha^2 + \sin^2 \alpha d\beta^2)]$
 $x^2 + y^2 + z^2 + w^2 = R^2$

$-x^2 - y^2 + z^2 = -L^2$

Desplázate hacia abajo para obtener más información

18:12 / 51:23

61 - Curso de Relatividad General [Anti de Sitter]

OBJETIVO: construir métrica
espaciotiempo $R = \text{constante} < 0$
solución EINSTEIN $\Lambda < 0$
VACÍO

TIEMPO

CONO DE LUZ FUTURO

1-esfera
 $R^2 d\theta^2$
 $x^2 + y^2 = R^2$

OBSERVADOR

ESPACIO

HIPERSUPERFICIE DEL PRESENTE

2-esfera
 $R^2 (d\phi^2 + \sin^2 \phi d\rho^2)$
 $x^2 + y^2 + z^2 = R^2$

CONO DE LUZ PASADO

3-esfera
 $R^2 [d\rho^2 + \cos^2 \rho (d\alpha^2 + \sin^2 \alpha d\beta^2)]$
 $x^2 + y^2 + z^2 + w^2 = R^2$

$-x^2 - y^2 + z^2 = -L^2$

Desplázate hacia abajo para obtener más información

18:12 / 51:23

I. II. 4. Hipotéticos casos de Reissner-Nordström y Kerr-Newman con censura cósmica y evidencia empírica de horizontes de sucesos no fusionados.

Kerr-Newman
 $r_g = \frac{2Mm}{JQ}$
 $M \neq 0$
 $Q \neq 0$
 $J \neq 0$

Caso con censura cósmica
 $|Q| \wedge J < M$
y evidencia empírica de horizontes de suceso no fusionados

Diagram labels: **Jet relativista**, **Región de emisión de microondas y radio**, **Región de emisión de rayos gamma y óptico**, **Onda de recombinación**, **Disco de acrecimiento**, **Agujero negro supermasivo**, **S**.

Caso con censura cósmica
 $|Q|/2\sqrt{\pi\epsilon_0 G} < M$

Reissner-Nordström
 $r = r_{\pm} = \frac{G}{c^2} \left(M \pm \sqrt{M^2 - \frac{Q^2}{4\pi\epsilon_0 G}} \right)$
 $M \neq 0$
 $Q \neq 0$
 $J = 0$

© José Luis Martínez

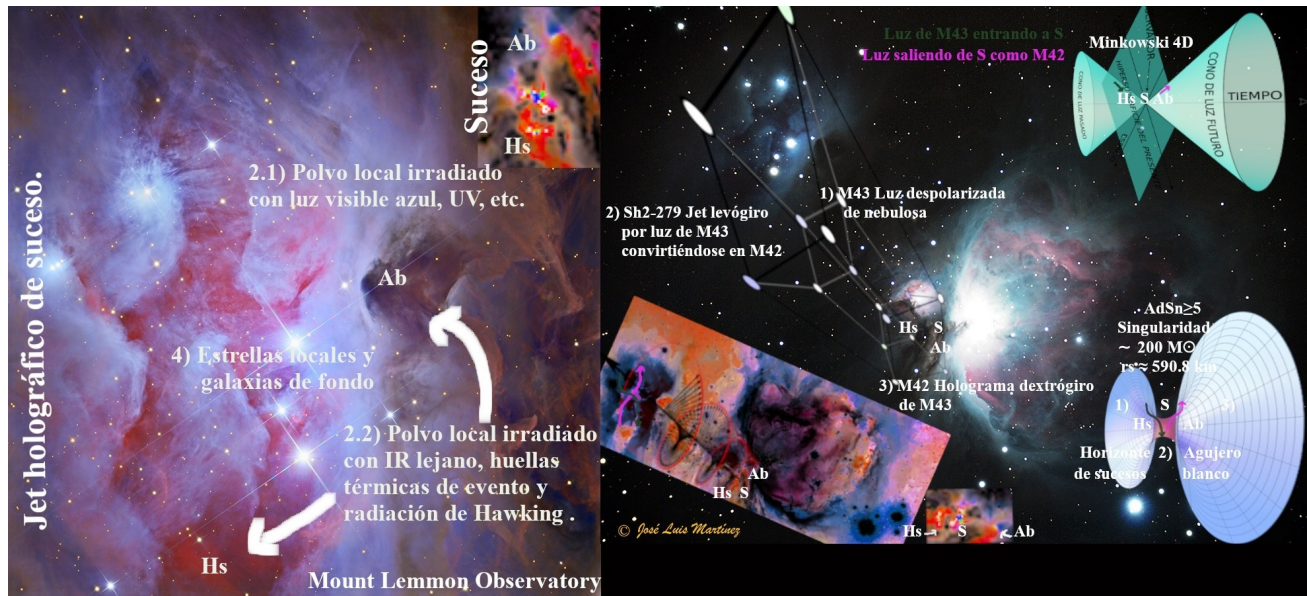
II. Conjetura, Sh2-279 como jet holográfico por efecto Cherenkov inverso de disco de acreción entre M43 y M42.

II.1. Todo jet de singularidad es una holografía de su evento.



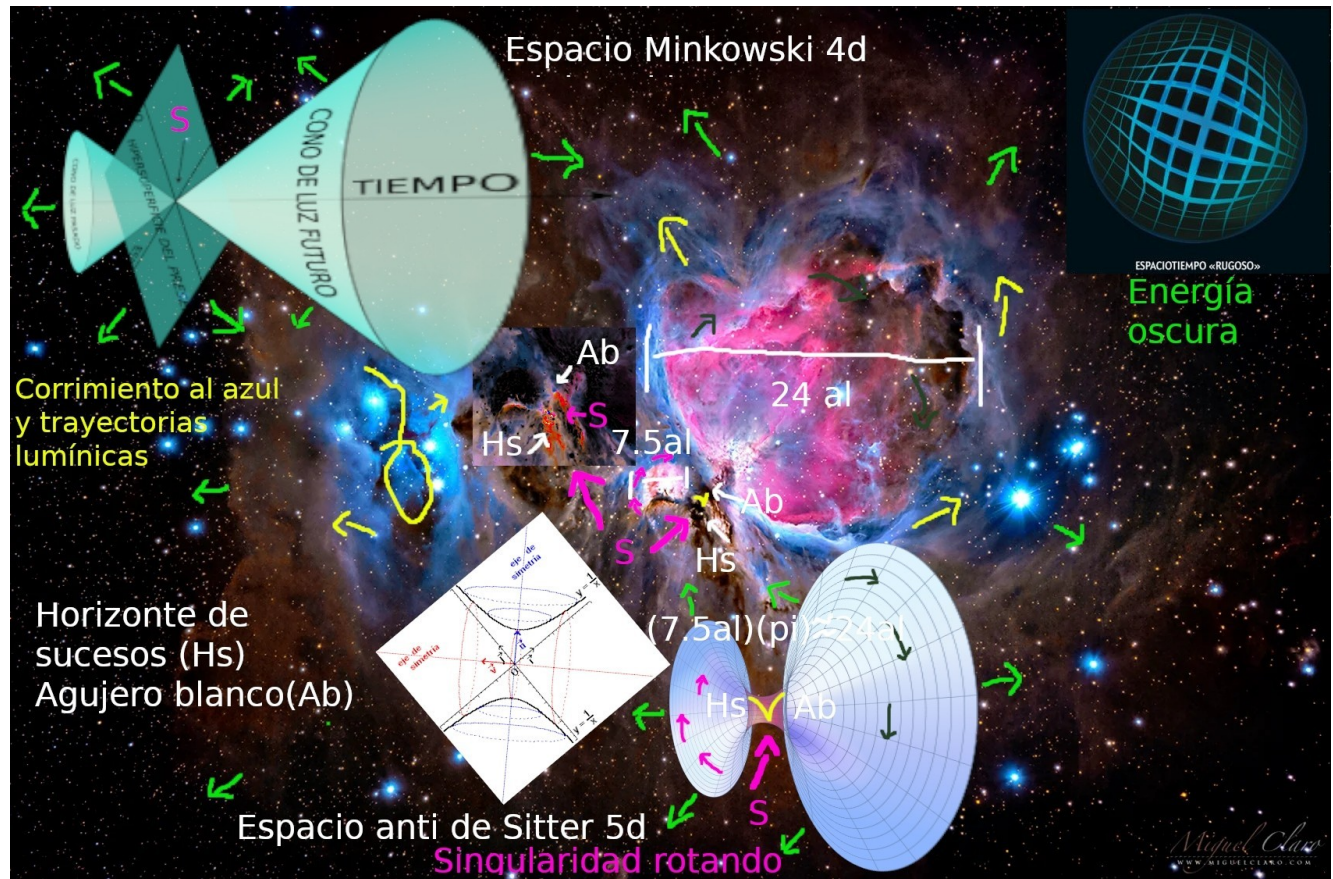
En la imagen, Sh2-279 como jet levógiro en superficie de tesseracto.

II. 2. Sh2-279 como jet holográfico de suceso M43-M42.

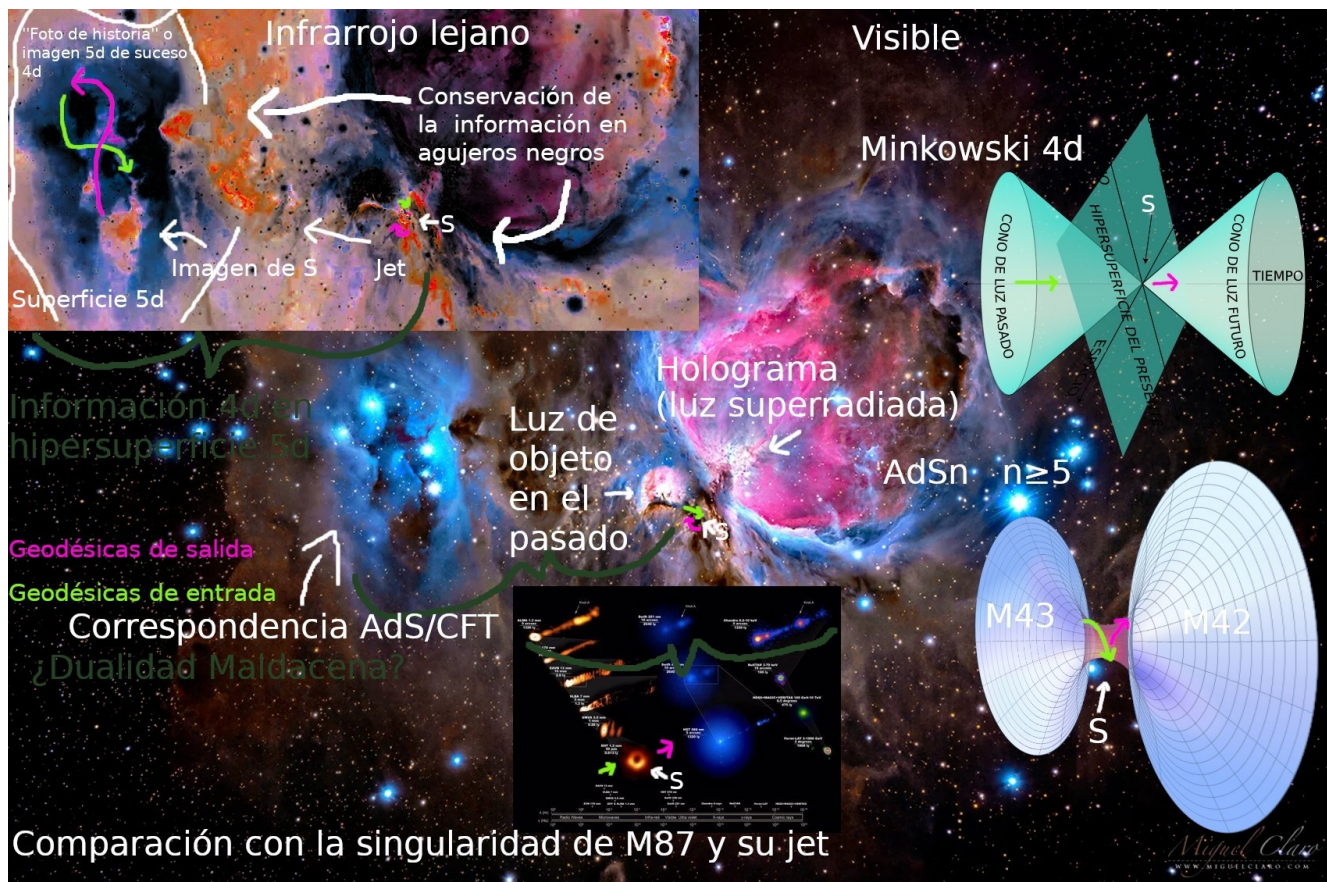


M42 como futuro o luz superradiada de M43 y Sh2-279 el jet con información o mapa detallado de ese posible viaje superlumínico o en el tiempo a través de una dimensión compactificada por debajo de la longitud de Planck.

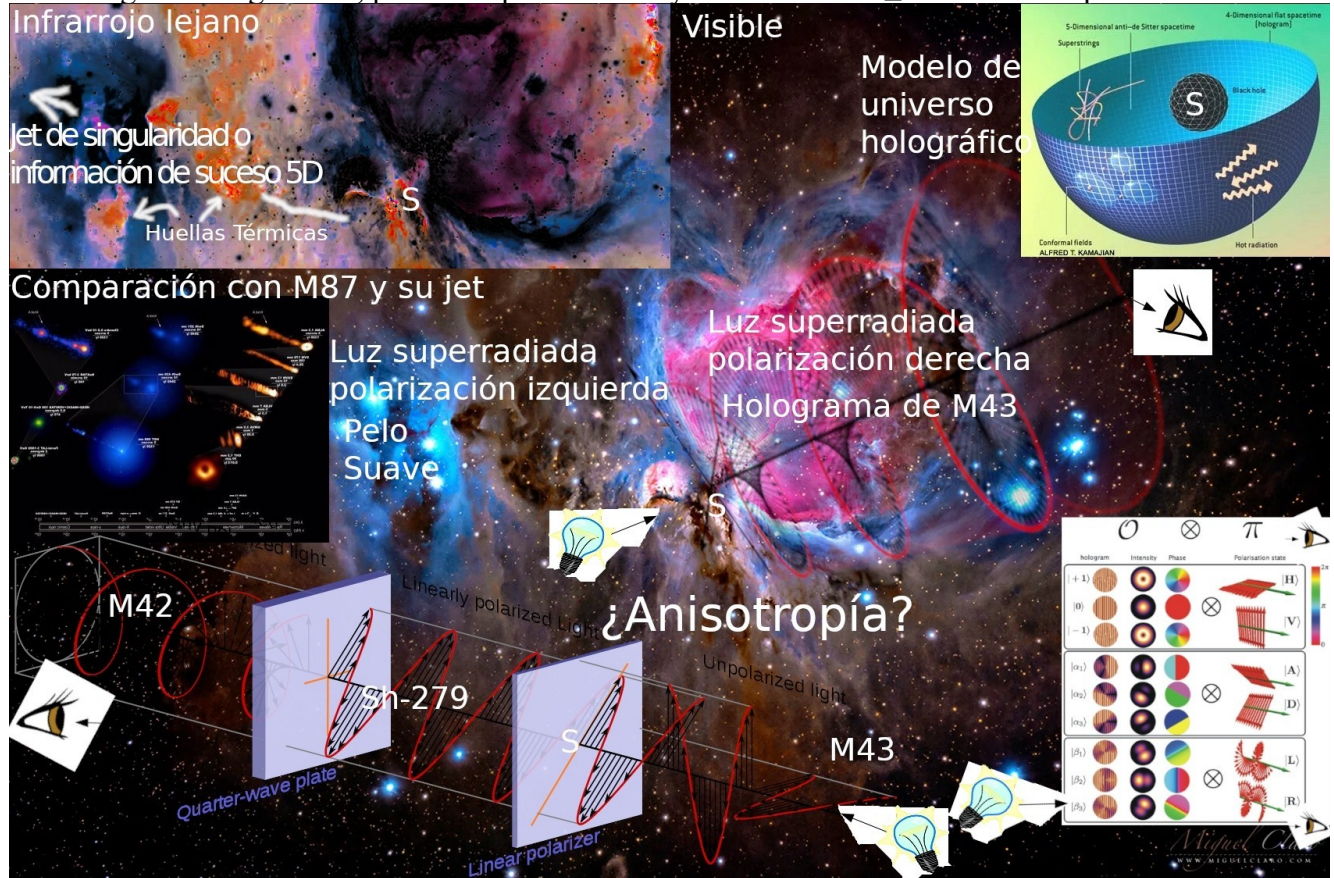
II. 3. Modelo $AdS_{n \geq 5}$ con constante cosmológica negativa por debajo de la longitud de Planck, singularidad rotatoria entre M43, Sh2-279 y M42. Continuidad lumínica entre M43 y M42 de trayectoria superradiada a modo de Sh2-279.



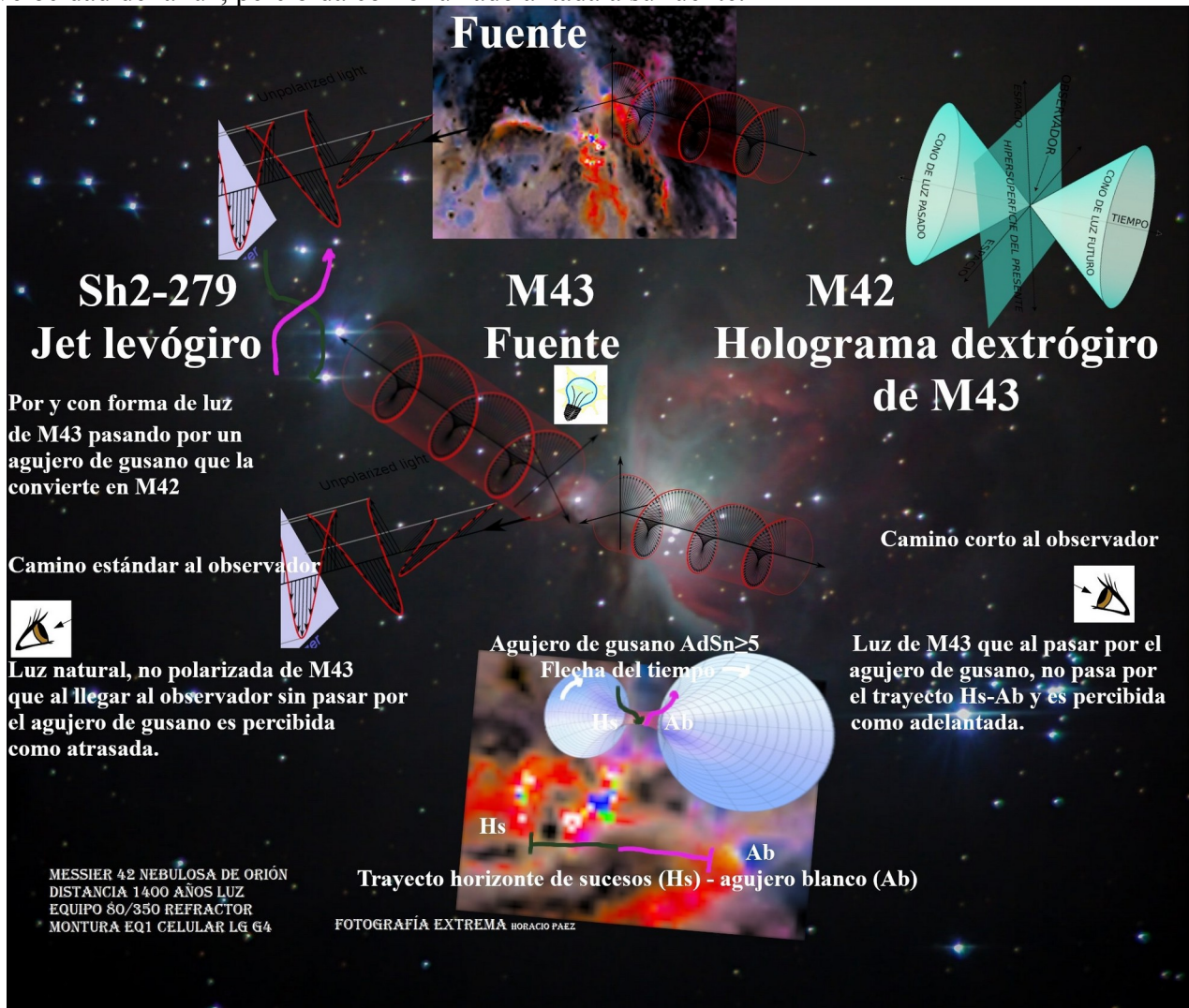
II. 4. Dualidad Maldacena. Conservación de la información por jet de singularidad superradiante o imagen 2D de acontecimiento 4D.



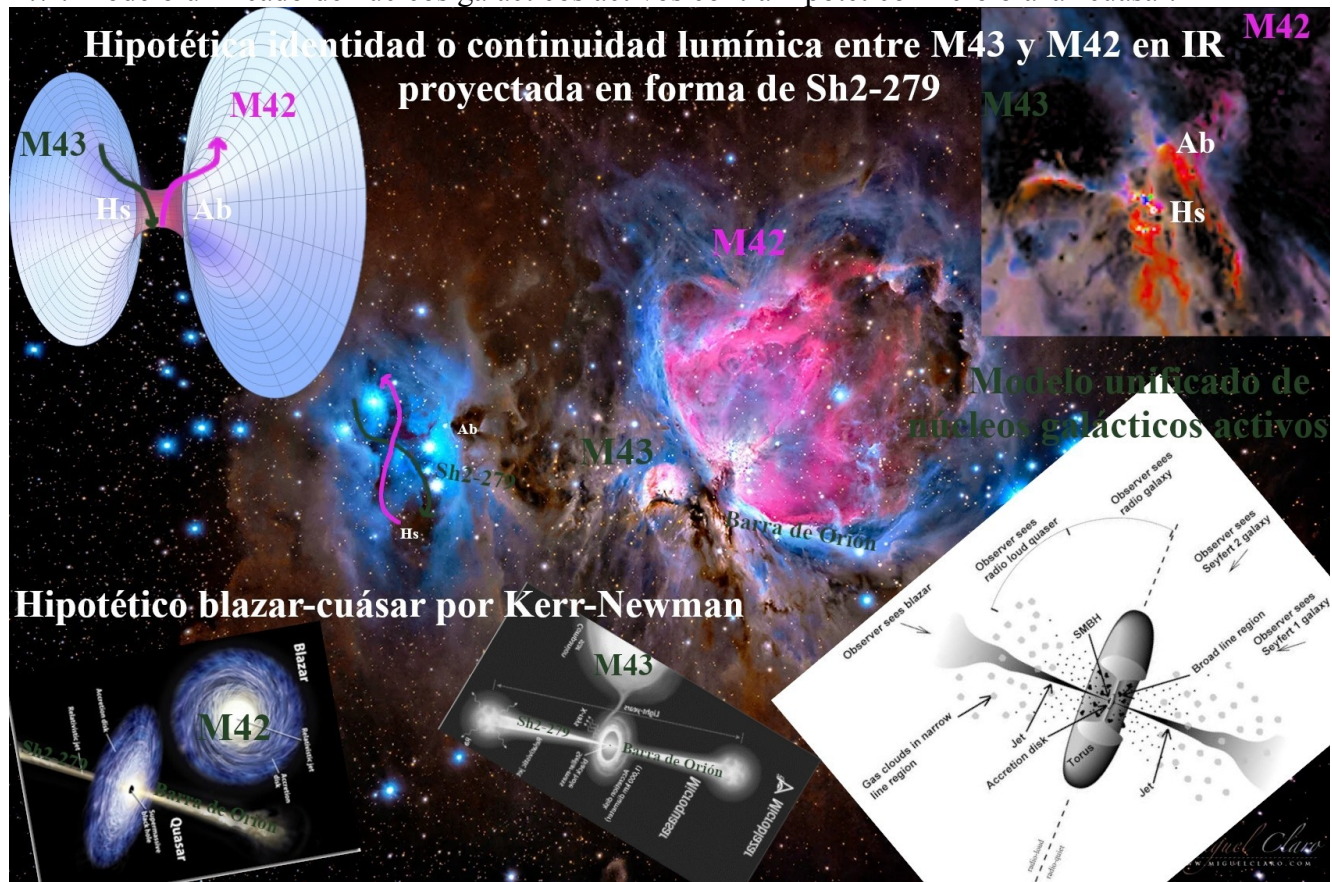
II. 5. Singularidad giratoria, posible superradiación y universo $AdS_{n \geq 5}$ con anisotropía.



II. 6. Hipotética velocidad superlumínica general por agujero de gusano, sin violación local a la velocidad de la luz, percibida como luz adelantada a su fuente.



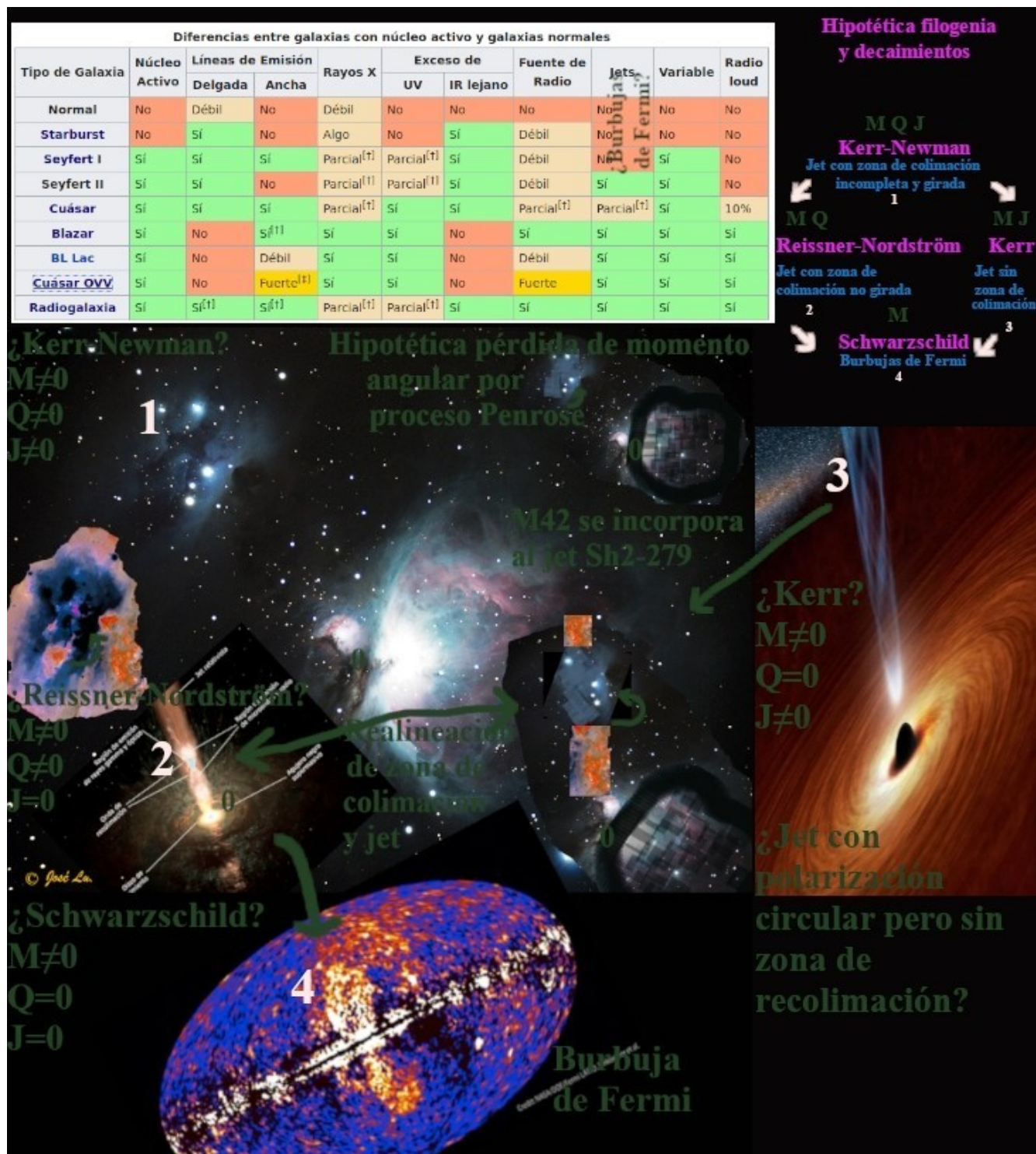
II.7 . Modelo unificado de núcleos galácticos activos contra hipotético micro blazar-cuasar.



© José Luis Martínez

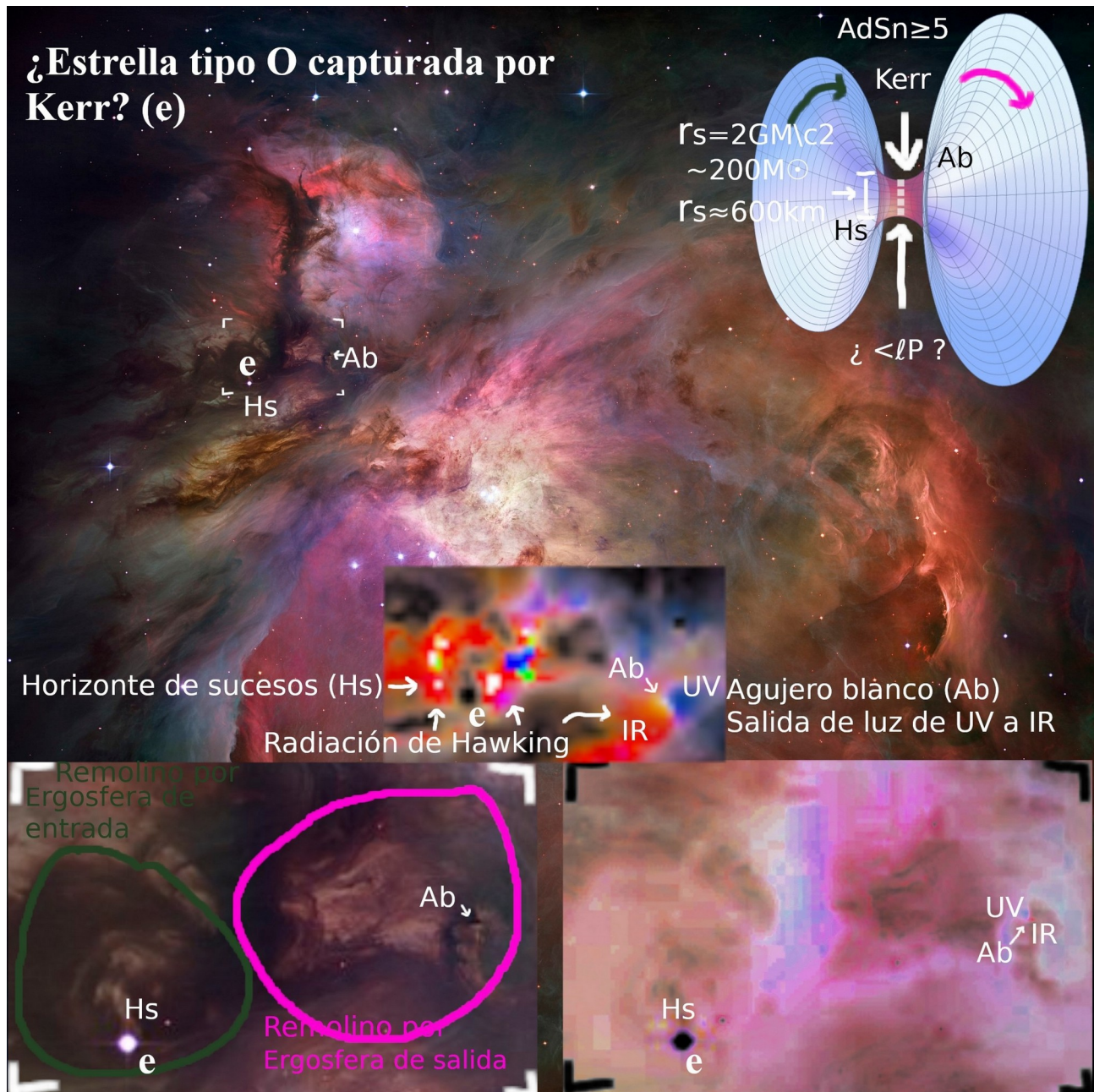


II. 9. Hipotética filogenia de singularidades deducida por jets.

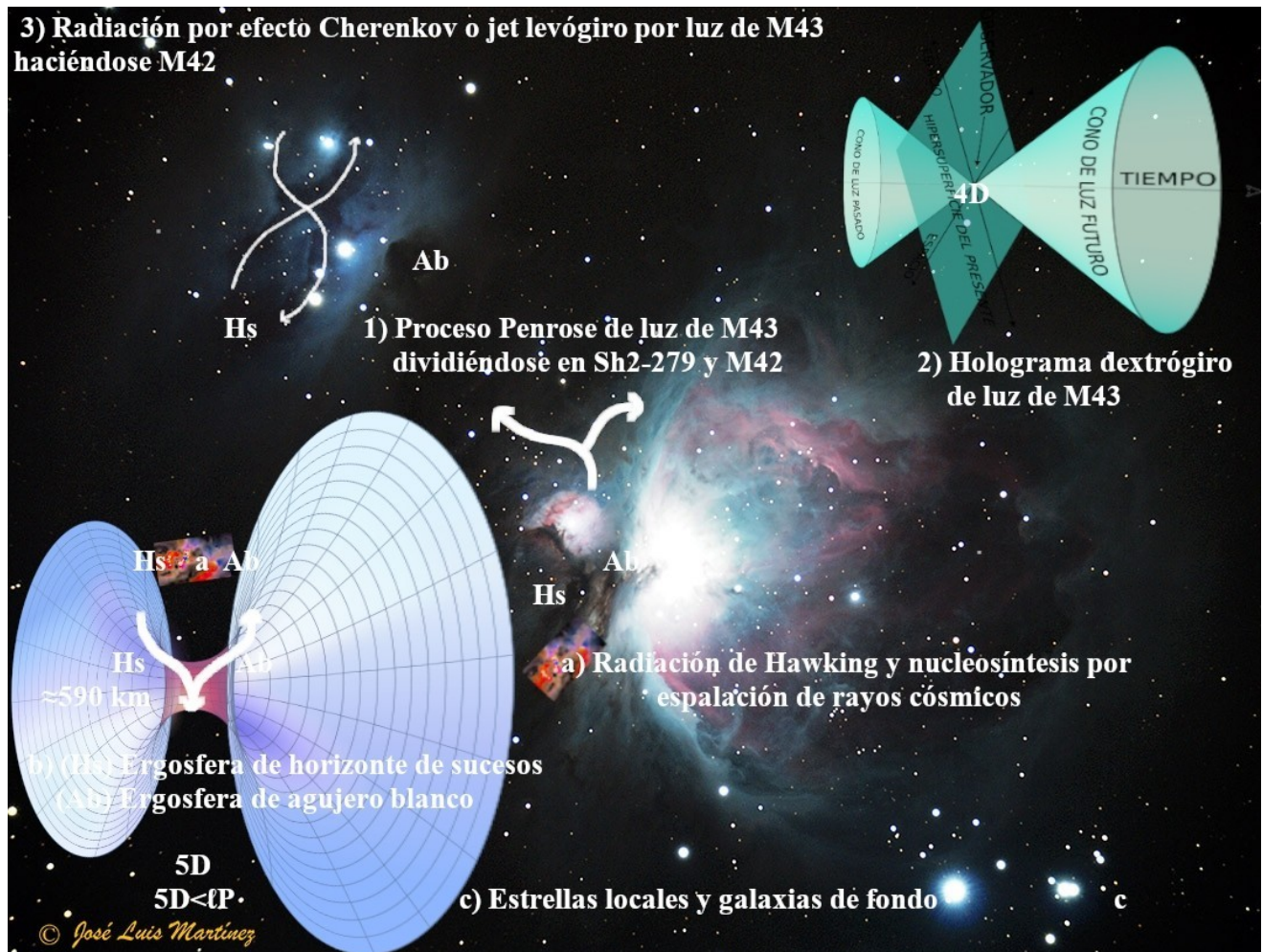


III. Posibles comprobaciones y Teoría M.

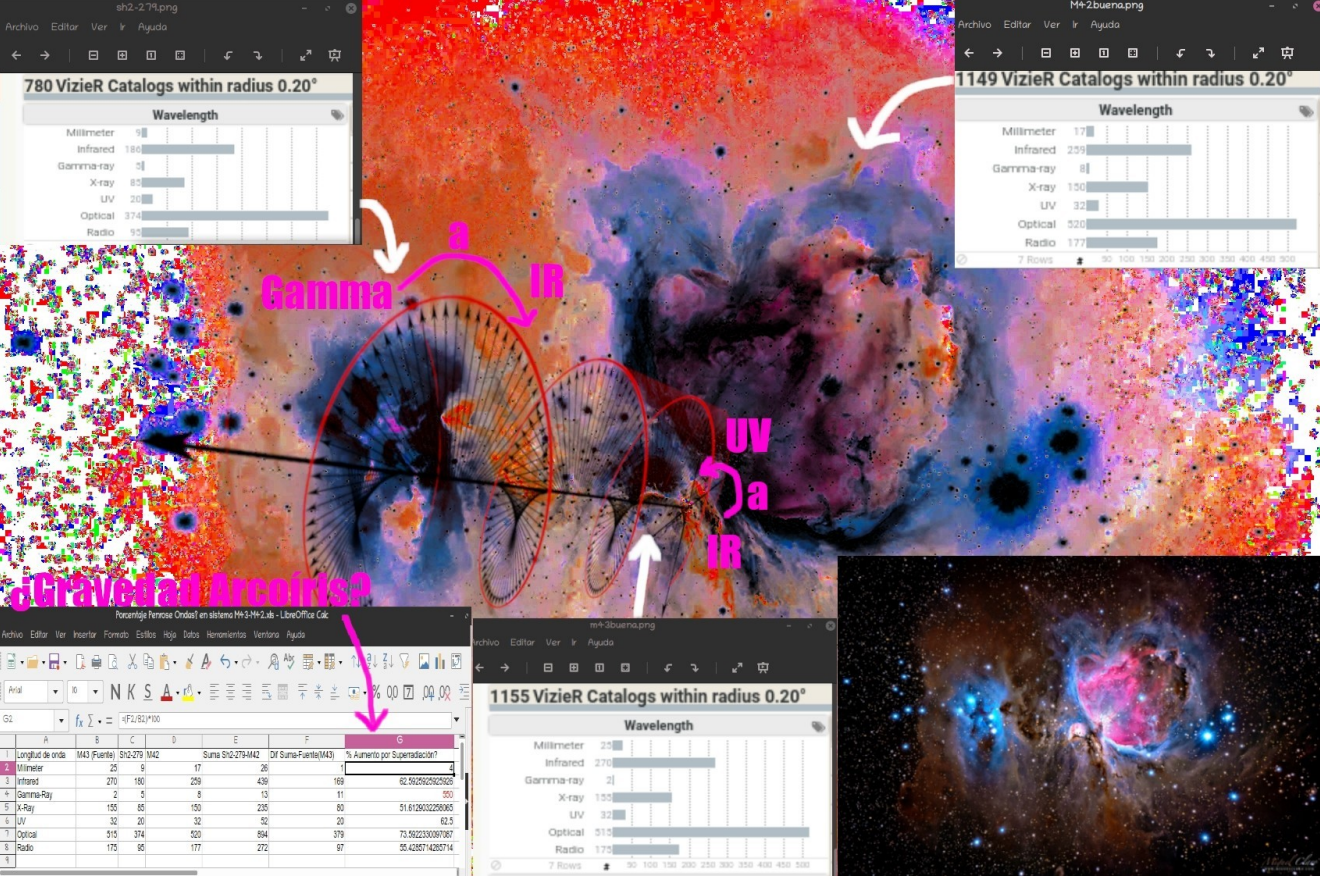
III.1. ¿Estrella tipo O capturada por Kerr?



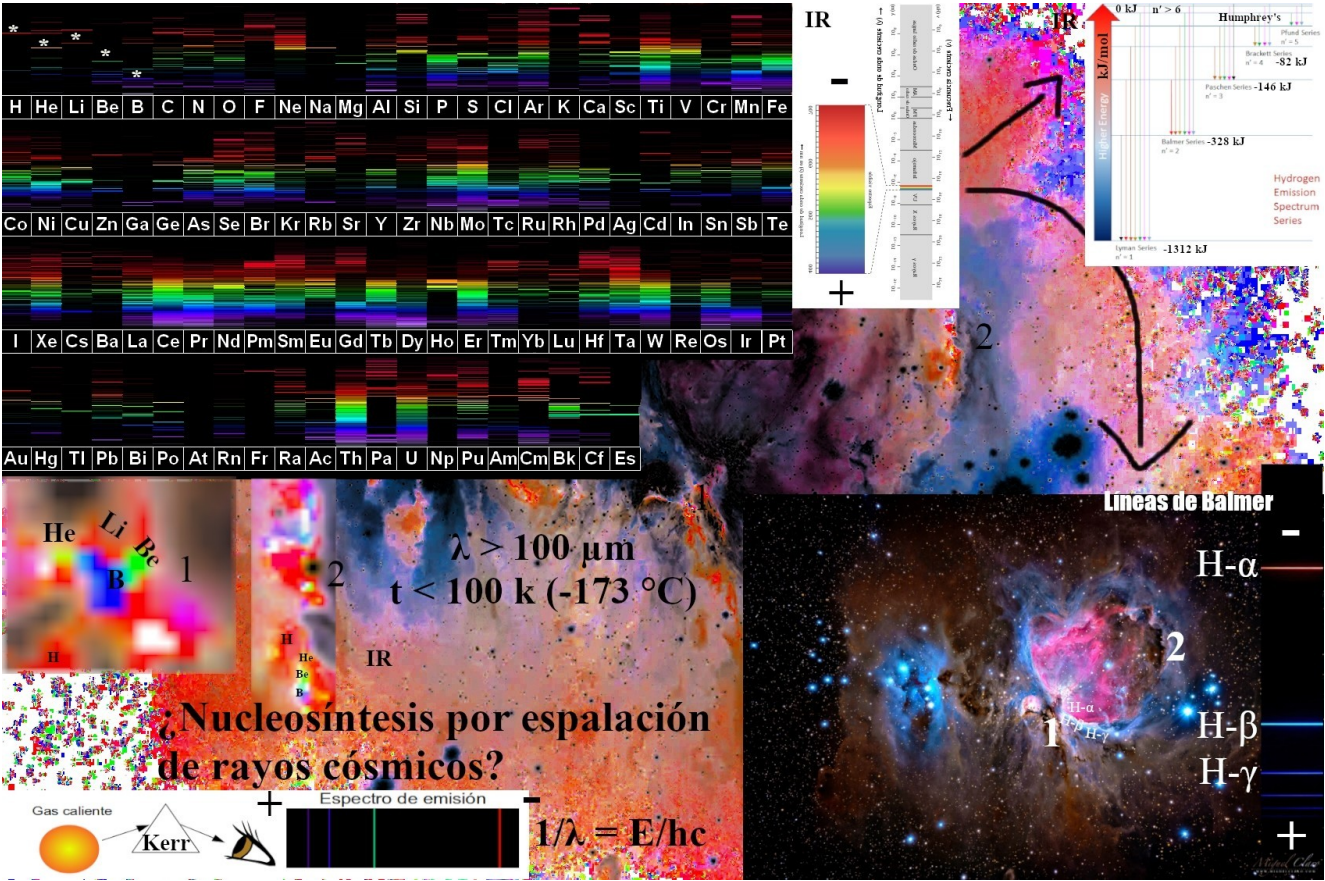
III. 2. Posible Proceso Penrose de luz de M43 subdividido en holograma dextrógiro M42 y su efecto Cherenkov o jet levógiro Sh2-279.



III. 3. Sh2-279 como Jet levógiro e indícios de gravidade arcoíris em análise de longitudes de onda.

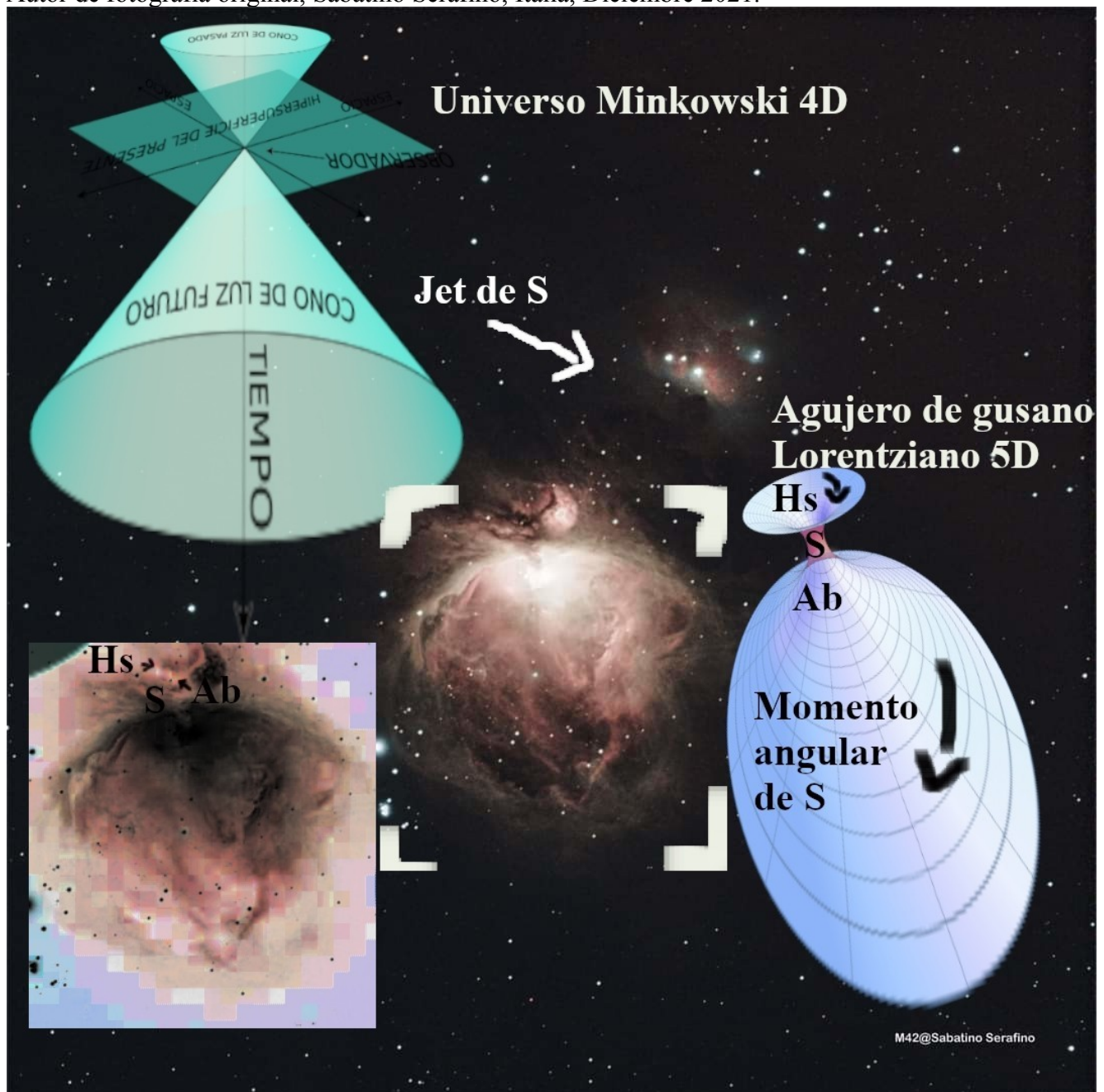


III. 4. Especulación físico-química por astronomía de infrarrojo lejano. Posible nucleosíntesis por espalación de rayos cósmicos revelada por Kerr.

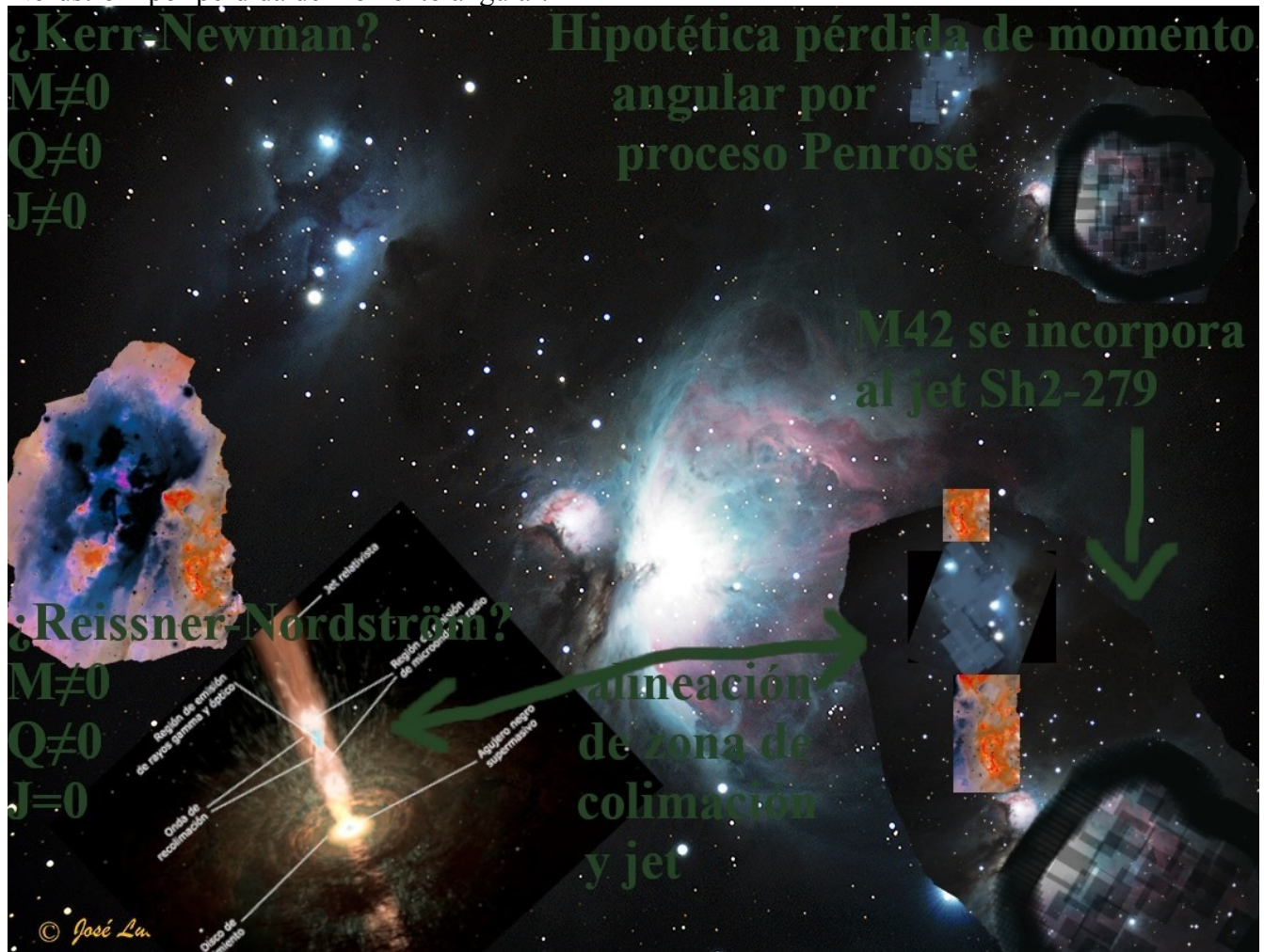


III. 5. Ejemplo de evidencia empírica.

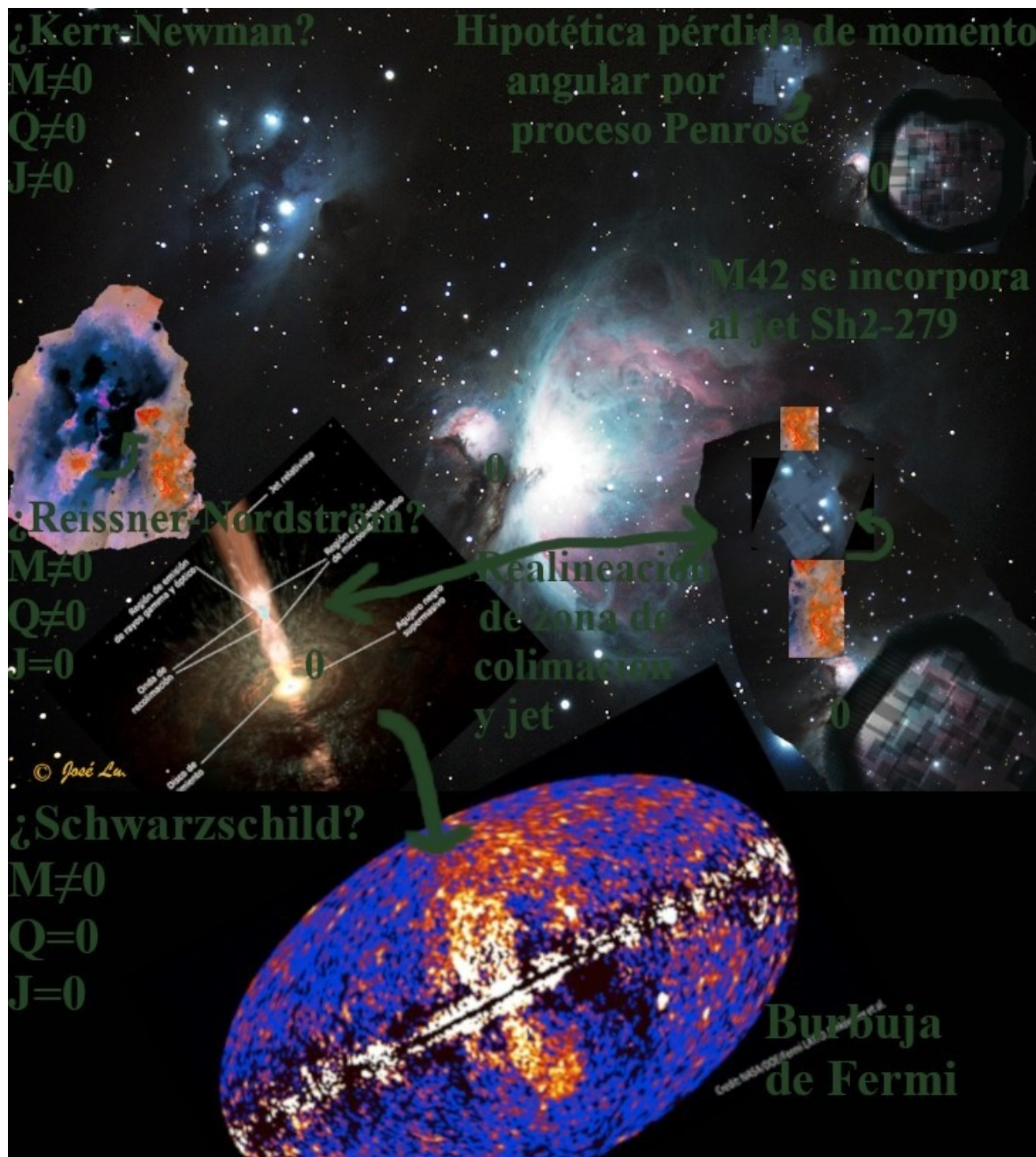
Autor de fotografía original, Sabatino Serafino, Italia, Diciembre 2021.



III. 6. Conjetura de Kerr-Newman masa estelar a intermedia y su posible decaimiento en Reissner-Nordström por pérdida de momento angular.



III. 7. Hipotético decaimiento Reissner–Nordström a Schwarzschild, jets vs burbujas de Fermi.



III. 9. Hipotéticas trayectorias de fotones en proceso Penrose y su ruptura de simetría.



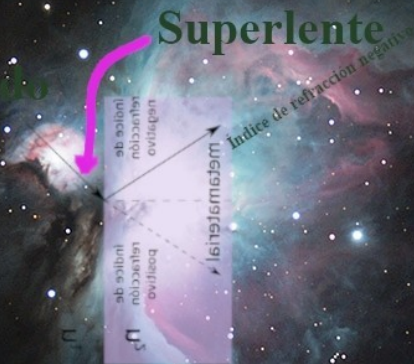
III. 10. Hipotético espacio-tiempo entorno a Kerr como metamaterial doble negativo.

¿Es M42 luz expandida, girada e invertida de M43?

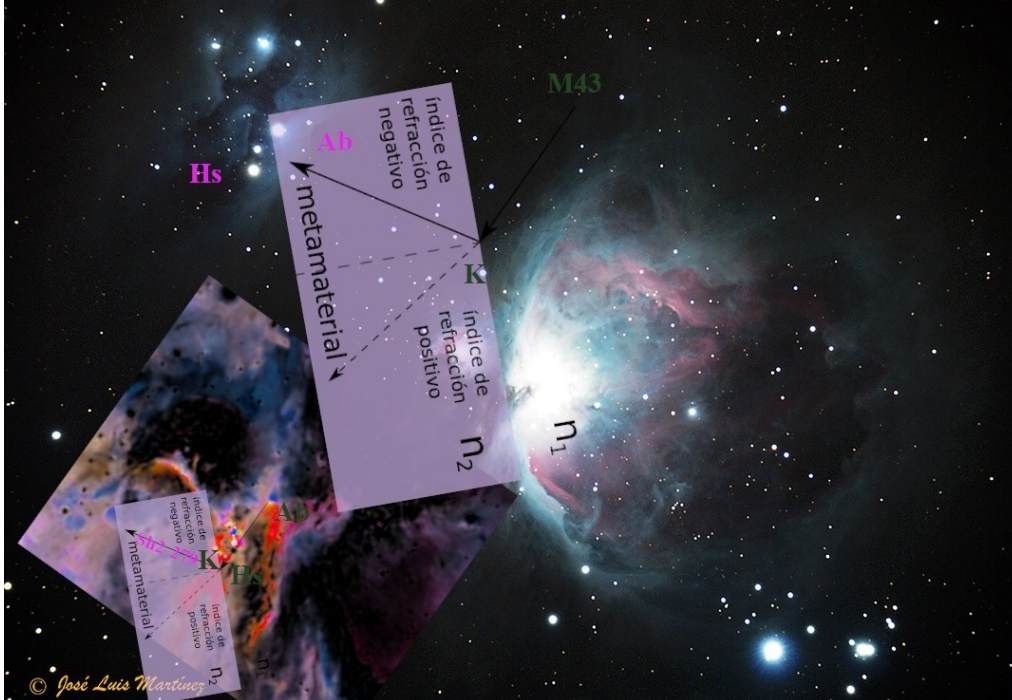
Espacio-tiempo condensado
como metamaterial
doble negativo.



© José Luis Martínez

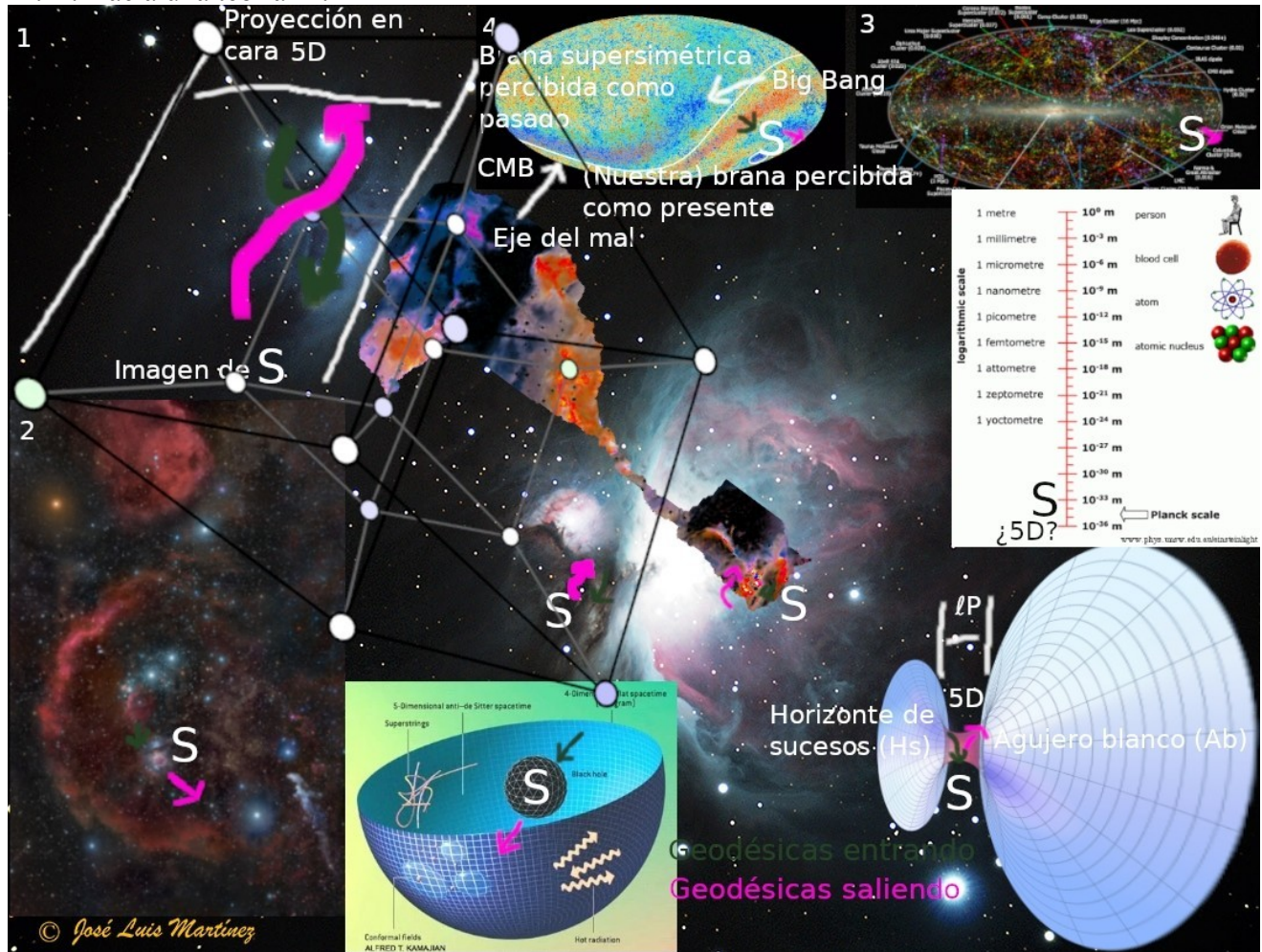


Hipotético espacio-tiempo entorno a Kerr como material con índice de refracción negativo.

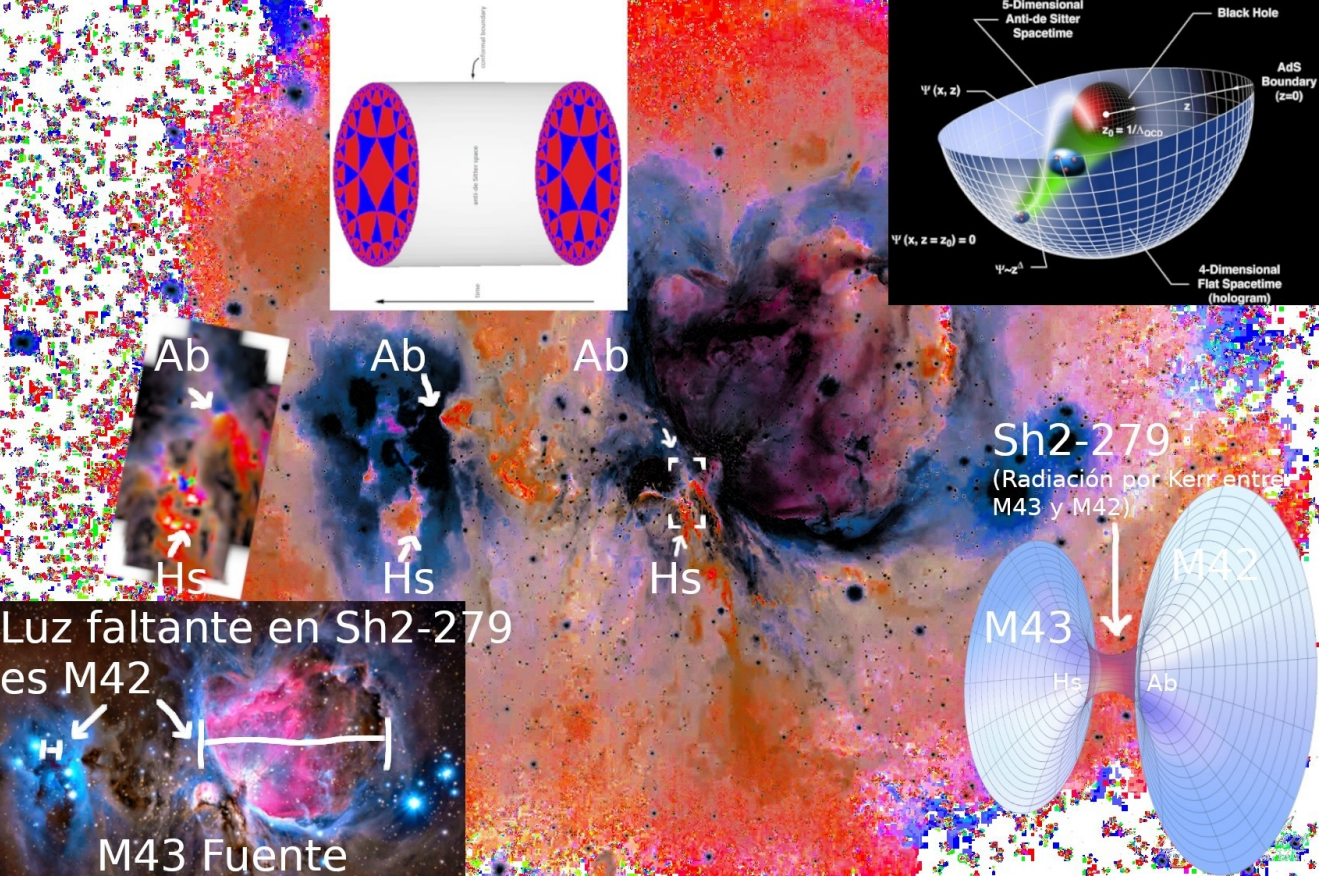


© José Luis Martínez

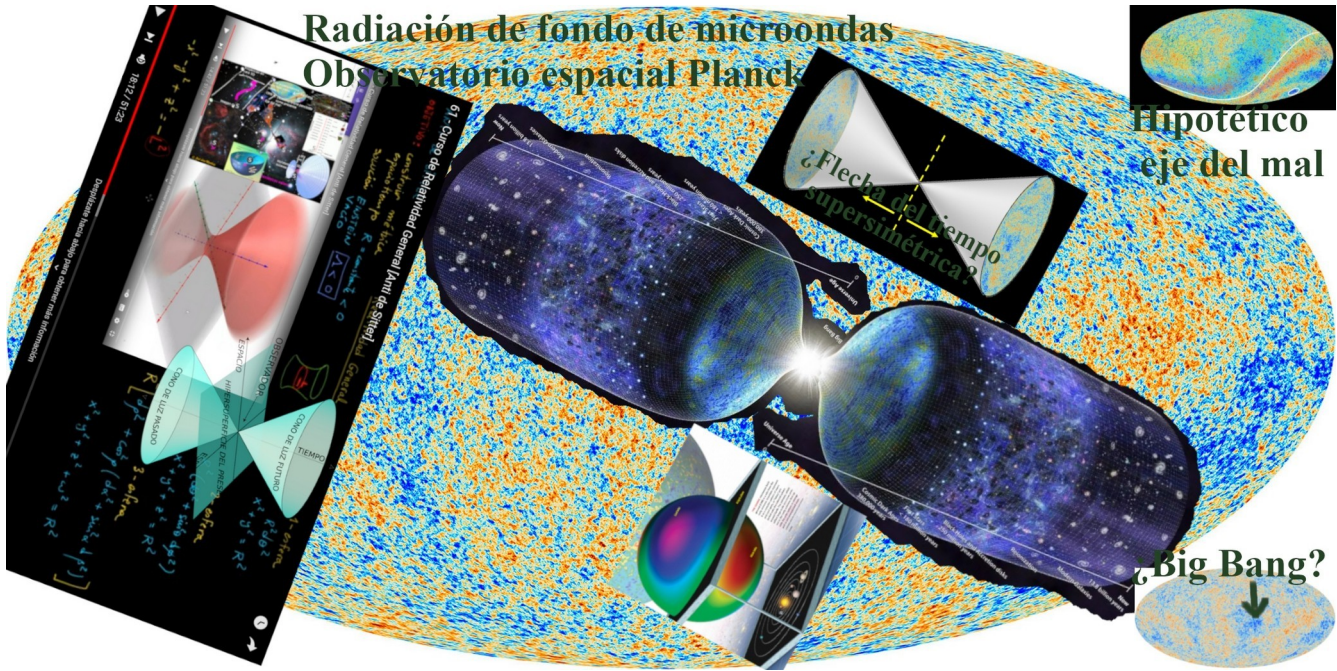
III. II. Hacia una teoría M.



III. II. 1. Correspondencia AdS-CFT en Sh2-279.



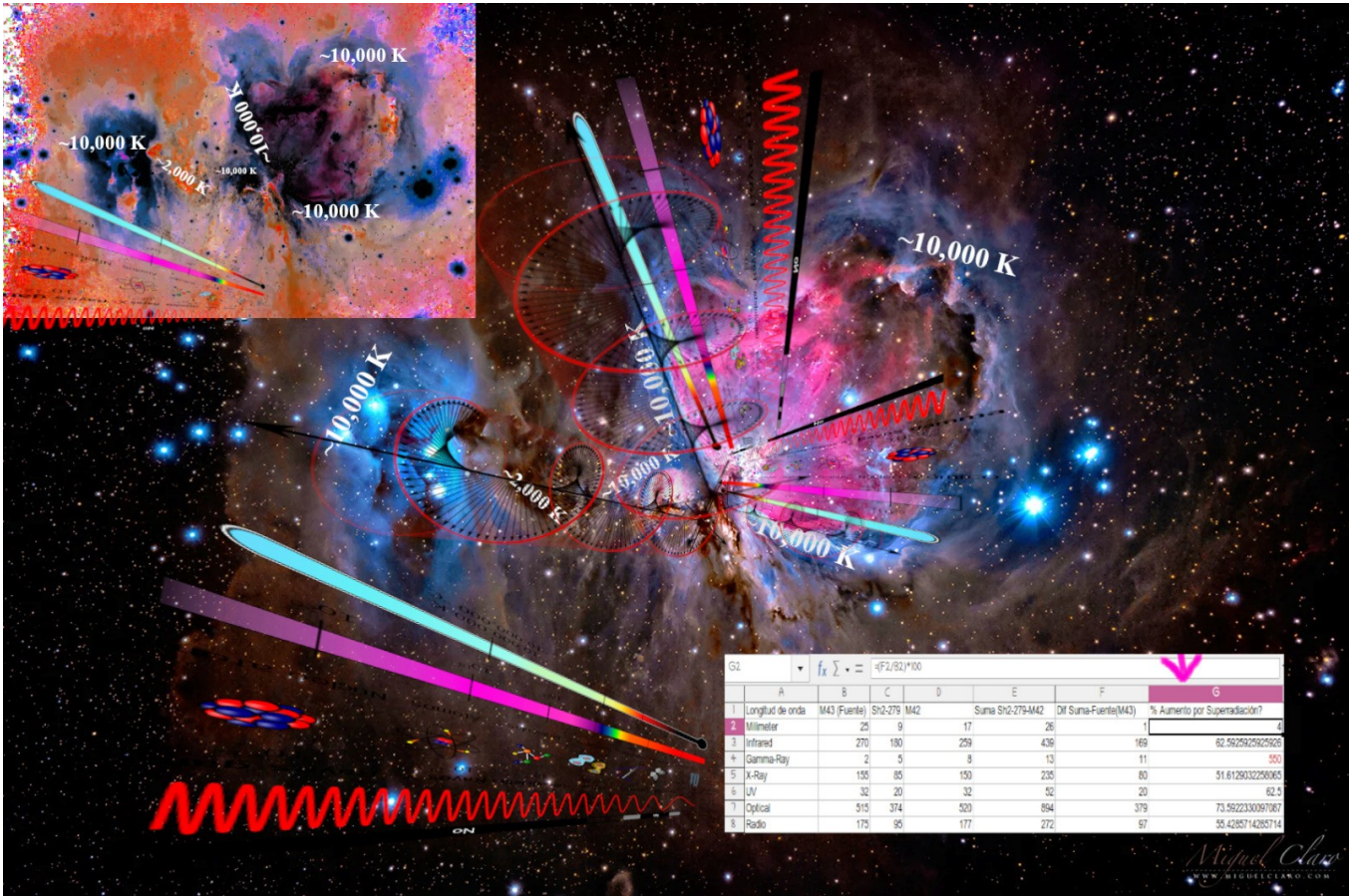
III. II. 2. Isotropía de la radiación de fondo de microondas e hipotético eje del mal como evidencia de flecha del tiempo supersimétrica y universo $AdS_n \geq 5$.



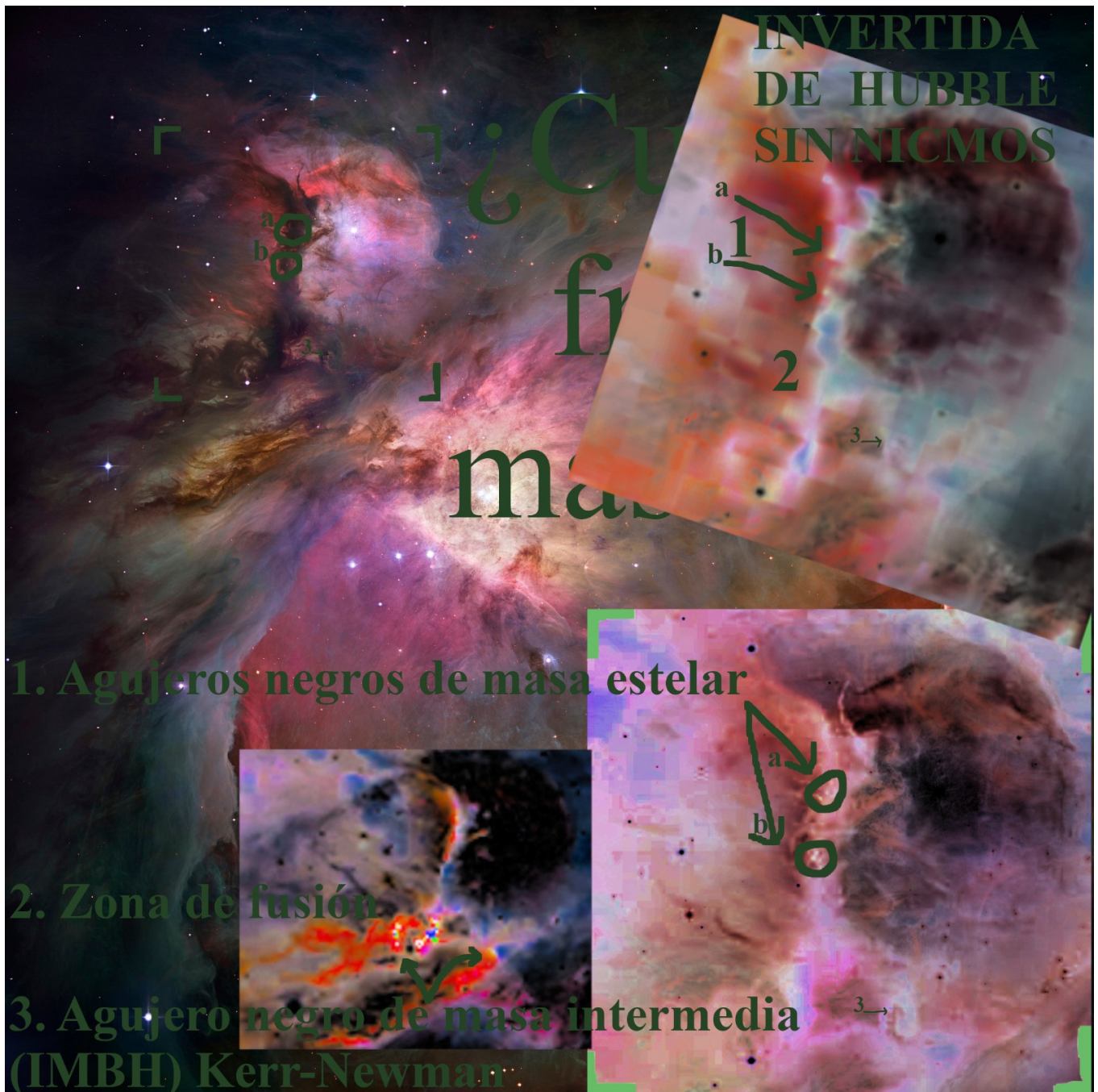
IV. Subconjetura del tercer jet.



IV. 1. Temperaturas y longitudes de onda en subconjuntura del tercer jet.



IV. 2. Subconjuntura de estelares a intermedio.



IV. 3. M43, M42 y Sh2-279 , estrellas y galaxias censuradas.



IV. 4. Tercer jet como microblazar Sh2-276, estrellas y galaxias censuradas.

